

离散时间泊松信道互信息范围

摘要

离散时间泊松信道 (Discrete-Time Poisson, DTP) 是通用地描述泊松散弹噪声影响下光子计数过程的数学模型。因数学计算上的困难, DTP 目前尚无准确的信道容量表达式, 这限制了泊松信道在更多场景下的应用。本文针对这一难题, 研究在 Q-PAM 调制下 SISO-DTP、OOK 调制下 SIMO-DTP、OOK 调制下 MIMO-DTP 的互信息范围, 为泊松信道的信道容量估计做出了贡献。

目录

一、引言	1
1.1 问题重述	1
1.2 问题分析	1
二、符号定义	1
三、Q-PAM 调制下 SISO-DPT 的互信息范围	2
四、代码	9

一、引言

1.1 问题重述

问题一中，我们需要求解在 Q-PAM 调制下 SISO-DPT 的互信息。

1.2 问题分析

针对 Q-PAM 调制下 SISO-DPT 的互信息，我们将互信息的求和公式分为两个部分：输出 $y = 0$ 时的部分与输出 $y = 1, 2, \dots$ 时的部分。分别对两部分进行放缩，可以得到互信息的一个下界。我们针对不同的 y 值进行讨论，得出 Q 、 n_s 、 n_b 对下界的适用范围的影响，并指出如何调整 Q 、 n_s 、 n_b 以使下界适用于大多数 y 。最后我们探讨了高阶泰勒展开对得到互信息上下界的可行性，并论证其优缺点。

二、符号定义

这里给出一些**重要的**符号的定义和描述。一些为了方便叙述而临时性构建的符号不在此列。

表 1 符号和描述

符号	描述
$P_\lambda(\cdot)$	泊松分布概率密度函数
Q	PAM 调制进制
n	PAM 调制输入
n_s	激光器最大发射光子数
n_b	背景光噪声光子数
y	实际接收光子数

三、Q-PAM 调制下 SISO-DPT 的互信息范围

由互信息的定义，可以直接写出 $I(X;Y)$ 的表达式，并根据对 y 求和的范围将其分解为两部分：

$$I(X;Y) = H(Y) - H(Y|X) \quad (1a)$$

$$\begin{aligned} &= \sum_{y=0}^{\infty} \frac{1}{Q} \sum_{n=1}^Q P_{\frac{n}{Q}n_s+n_b}(y) \log P_{\frac{n}{Q}n_s+n_b}(y) \\ &\quad - \sum_{y=0}^{\infty} \frac{1}{Q} \left[\sum_{n=1}^Q P_{\frac{n}{Q}n_s+n_b}(y) \right] \log \left[\frac{1}{Q} \sum_{k=1}^Q P_{\frac{k}{Q}n_s+n_b}(y) \right] \\ &= -\frac{1}{Q} \sum_{y=0}^{\infty} \sum_{n=1}^Q P_{\frac{n}{Q}n_s+n_b}(y) \log \frac{Q P_{\frac{n}{Q}n_s+n_b}(y)}{\sum_{k=1}^Q P_{\frac{k}{Q}n_s+n_b}(y)} \end{aligned} \quad (1b)$$

$$= I_0 + I_1 \quad (1c)$$

其中：

$$\begin{aligned} I_0 &= \frac{1}{Q} \left[\sum_{n=1}^Q e^{-(\frac{n}{Q}n_s+n_b)} \right] \log \left[\sum_{k=1}^Q e^{-(\frac{k}{Q}n_s+n_b)} \right] \\ &\quad - \frac{1}{Q} \sum_{n=1}^Q \left[e^{-(\frac{n}{Q}n_s+n_b)} + \log Q \right] \left(\frac{n}{Q}n_s + n_b \right) \end{aligned} \quad (2a)$$

$$I_1 = -\frac{1}{Q} \sum_{y=1}^{\infty} \sum_{n=1}^Q P_{\frac{n}{Q}n_s+n_b}(y) \log \frac{P_{\frac{n}{Q}n_s+n_b}(y)}{\sum_{k=1}^Q P_{\frac{k}{Q}n_s+n_b}(y)} \quad (2b)$$

式(2a)中所求的对数是有限项幂项的求和，可以不再化简。

也可以使用式(3)作为 I_0 的一个下界：

$$\begin{aligned} I_0 &\geq \frac{2}{Q(Qn_s + 2n_b)} \sum_{n=1}^Q e^{-(\frac{n}{Q}n_s+n_b)} \\ &\quad - \frac{1}{Q} \sum_{n=1}^Q e^{-(\frac{n}{Q}n_s+n_b)} \left(\frac{n}{Q}n_s + n_b \right) \\ &\quad - \frac{\log Q}{Q} \sum_{n=1}^Q e^{-(\frac{n}{Q}n_s+n_b)} \end{aligned} \quad (3)$$

为缩小 I_1 ，我们将 I_1 中所求的对数分子分布同除以相当于 $n = Q$ 时的一项概率的 $P_{n_b+n_s}(y)$ 。并依此将 I_1 分解为 I_{10} 和 I_{11} ：

$$I_{10} = -\frac{1}{Q} \sum_{y=1}^{\infty} \sum_{n=1}^Q P_{\frac{n}{Q}n_s+n_b}(y) \log \frac{P_{\frac{n}{Q}n_s+n_b}(y)}{P_{n_b+n_s}(y)} \quad (4a)$$

$$I_{11} = \frac{1}{Q} \sum_{y=1}^{\infty} [\sum_{n=1}^Q P_{\frac{n}{Q}n_s+n_b}(y)] \log(1 + \frac{\sum_{k=1}^{Q-1} P_{\frac{k}{Q}n_s+n_b}(y)}{P_{n_b+n_s}(y)}) \quad (4b)$$

通过交换求和次序，式(4a)可以化简如下：

$$\begin{aligned} I_{10} &= -\frac{1}{Q} \sum_{n=1}^Q \sum_{y=1}^{\infty} P_{\frac{n}{Q}n_s+n_b}(y) \log \frac{P_{\frac{n}{Q}n_s+n_b}(y)}{P_{n_b+n_s}(y)} \\ &= -\frac{1}{Q} \sum_{n=1}^Q [(\frac{n}{Q}n_s + n_b) \log \frac{nn_s + Qn_b}{Q(n_b + n_s)} + \frac{Q-n}{Q}n_s(1 - e^{-\frac{n}{Q}n_s-n_b})] \end{aligned} \quad (5a)$$

式(5a)已经是闭式求和的形式，可以不再化简。

使用 $\log(1+x)$ 在 $x=0$ 处的泰勒展开得到不等式 $\log(1+x) \geq x - \frac{1}{2}x^2$ ，式(4b)可以缩小如式(6)：

$$\begin{aligned} I_{11} &= \frac{1}{Q} \sum_{y=1}^{\infty} [\sum_{n=1}^Q P_{\frac{n}{Q}n_s+n_b}(y)] \log(1 + \frac{\sum_{k=1}^{Q-1} P_{\frac{k}{Q}n_s+n_b}(y)}{P_{n_b+n_s}(y)}) \\ &\geq \frac{1}{Q} \sum_{y=1}^{\infty} [\sum_{n=1}^Q P_{\frac{n}{Q}n_s+n_b}(y)] [\frac{\sum_{k=1}^{Q-1} P_{\frac{k}{Q}n_s+n_b}(y)}{P_{n_b+n_s}(y)} - \frac{1}{2}(\frac{\sum_{k=1}^{Q-1} P_{\frac{k}{Q}n_s+n_b}(y)}{P_{n_b+n_s}(y)})^2] \\ &= \frac{1}{2Q} \sum_{y=1}^{\infty} [\sum_{1 \leq n,k;n < k}^{Q-1} 2 \frac{P_{\frac{n}{Q}n_s+n_b}(y)P_{\frac{k}{Q}n_s+n_b}(y)}{P_{n_b+n_s}(y)} \\ &\quad + \sum_{n=1}^{Q-1} \frac{[P_{\frac{n}{Q}n_s+n_b}(y)]^2}{P_{n_b+n_s}(y)} + 2 \sum_{n=1}^{Q-1} P_{\frac{n}{Q}n_s+n_b}(y)] \end{aligned} \quad (6a)$$

$$\begin{aligned} &- \frac{1}{2Q} \sum_{y=1}^{\infty} [\sum_{n=1}^{Q-1} \frac{[P_{\frac{n}{Q}n_s+n_b}(y)]^3}{[P_{n_b+n_s}(y)]^2} \\ &\quad + 3 \sum_{1 \leq n,k;n < k}^{Q-1} \frac{[P_{\frac{n}{Q}n_s+n_b}(y)]^2 P_{\frac{k}{Q}n_s+n_b}(y) + [P_{\frac{k}{Q}n_s+n_b}(y)]^2 P_{\frac{n}{Q}n_s+n_b}(y)}{[P_{n_b+n_s}(y)]^2} \\ &\quad + 6 \sum_{1 \leq n,j,k;n < j < k}^{Q-1} \frac{P_{\frac{n}{Q}n_s+n_b}(y)P_{\frac{j}{Q}n_s+n_b}(y)P_{\frac{k}{Q}n_s+n_b}(y)}{[P_{n_b+n_s}(y)]^2}] \end{aligned} \quad (6b)$$

式(6a)中出现了分子为泊松分布二次项而分母为泊松分布一次项的分式，将其化简如下：

$$\begin{aligned} \frac{P_{\frac{n}{Q}n_s+n_b}(y)P_{\frac{k}{Q}n_s+n_b}(y)}{P_{n_b+n_s}(y)} &= P_{\frac{(\frac{n}{Q}n_s+n_b)(\frac{k}{Q}n_s+n_b)}{n_b+n_s}}(y) \cdot e^{\frac{(\frac{n}{Q}n_s+n_b)(\frac{k}{Q}n_s+n_b)}{n_b+n_s} - \frac{n+k-Q}{Q}n_s-n_b} \\ \frac{[P_{\frac{n}{Q}n_s+n_b}(y)]^2}{P_{n_b+n_s}(y)} &= P_{\frac{(\frac{n}{Q}n_s+n_b)^2}{n_b+n_s}}(y) \cdot e^{\frac{(\frac{n}{Q}n_s+n_b)^2}{n_b+n_s} - \frac{2n-Q}{Q}n_s-n_b} \end{aligned} \quad (7)$$

依据式(7)可化简式(6a)如下：

$$\begin{aligned} &\frac{1}{Q} \sum_{1 \leq n, k; n < k}^{Q-1} \left[e^{\frac{(\frac{n}{Q}n_s+n_b)(\frac{k}{Q}n_s+n_b)}{n_b+n_s} - \frac{n+k-Q}{Q}n_s-n_b} - e^{-\frac{n+k-Q}{Q}n_s-n_b} \right] \\ &+ \frac{1}{2Q} \sum_{n=1}^{Q-1} \left[e^{\frac{(\frac{n}{Q}n_s+n_b)^2}{n_b+n_s} - \frac{2n-Q}{Q}n_s-n_b} - e^{-\frac{2n-Q}{Q}n_s-n_b} \right] \\ &+ \frac{1}{Q} \sum_{n=1}^{Q-1} (1 - e^{\frac{n}{Q}n_s+n_b}) \end{aligned} \quad (8)$$

式(6b)中出现了分子为泊松分布三次项而分母为泊松分布二次项的分式，将其化简如下：

$$\begin{aligned} \frac{P_{\frac{n}{Q}n_s+n_b}(y)P_{\frac{j}{Q}n_s+n_b}(y)P_{\frac{k}{Q}n_s+n_b}(y)}{[P_{n_b+n_s}(y)]^2} &= P_{\frac{(\frac{n}{Q}n_s+n_b)(\frac{j}{Q}n_s+n_b)(\frac{k}{Q}n_s+n_b)}{(n_b+n_s)^2}}(y) \\ &\cdot e^{\frac{(\frac{n}{Q}n_s+n_b)(\frac{j}{Q}n_s+n_b)(\frac{k}{Q}n_s+n_b)}{(n_b+n_s)^2} - \frac{n+j+k-2Q}{Q}n_s-n_b} \\ \frac{[P_{\frac{n}{Q}n_s+n_b}(y)]^2 P_{\frac{k}{Q}n_s+n_b}(y)}{[P_{n_b+n_s}(y)]^2} &= P_{\frac{(\frac{n}{Q}n_s+n_b)^2(\frac{k}{Q}n_s+n_b)}{(n_b+n_s)^2}}(y) \\ &\cdot e^{\frac{(\frac{n}{Q}n_s+n_b)^2(\frac{k}{Q}n_s+n_b)}{(n_b+n_s)^2} - \frac{2n+k-2Q}{Q}n_s-n_b} \\ \frac{[P_{\frac{k}{Q}n_s+n_b}(y)]^2 P_{\frac{n}{Q}n_s+n_b}(y)}{[P_{n_b+n_s}(y)]^2} &= P_{\frac{(\frac{k}{Q}n_s+n_b)^2(\frac{n}{Q}n_s+n_b)}{(n_b+n_s)^2}}(y) \\ &\cdot e^{\frac{(\frac{k}{Q}n_s+n_b)^2(\frac{n}{Q}n_s+n_b)}{(n_b+n_s)^2} - \frac{2k+n-Q}{Q}n_s-n_b} \\ \frac{[P_{\frac{n}{Q}n_s+n_b}(y)]^3}{[P_{n_b+n_s}(y)]^2} &= P_{\frac{(\frac{n}{Q}n_s+n_b)^3}{(n_b+n_s)^2}}(y) \cdot e^{\frac{(\frac{n}{Q}n_s+n_b)^3}{(n_b+n_s)^2} - \frac{3n-2Q}{Q}n_s-n_b} \end{aligned} \quad (9)$$

依据式(9)可化简式(6b)如下:

$$\begin{aligned}
& -\frac{1}{2Q} \sum_{n=1}^{Q-1} [e^{\frac{(\frac{n}{Q}n_s+n_b)(\frac{j}{Q}n_s+n_b)(\frac{k}{Q}n_s+n_b)}{(n_b+n_s)^2} - \frac{n+j+k-2Q}{Q}n_s-n_b} - e^{-\frac{n+j+k-2Q}{Q}n_s-n_b}] \\
& -\frac{3}{2Q} \sum_{1 \leq n, k; n < k}^{Q-1} [e^{\frac{(\frac{n}{Q}n_s+n_b)^2(\frac{k}{Q}n_s+n_b)}{(n_b+n_s)^2} - \frac{2n+k-2Q}{Q}n_s-n_b} - e^{-\frac{2n+k-2Q}{Q}n_s-n_b} \\
& + e^{\frac{(\frac{k}{Q}n_s+n_b)^2(\frac{n}{Q}n_s+n_b)}{(n_b+n_s)^2} - \frac{2k+n-2Q}{Q}n_s-n_b} - e^{-\frac{2k+n-2Q}{Q}n_s-n_b}] \\
& -\frac{3}{Q} \sum_{1 \leq n, j, k; n < j < k}^{Q-1} [e^{\frac{(\frac{n}{Q}n_s+n_b)^3}{(n_b+n_s)^2} - \frac{3n-2Q}{Q}n_s-n_b} - e^{-\frac{3n-2Q}{Q}n_s-n_b}]
\end{aligned} \tag{10}$$

由此得到 $I(X; Y)$ 的一个下界(3)+(5a)+(8)+(10), 这是有限项的闭式求和, 可以不
再化简。其误差与 $\sum_{k=1}^{Q-1} \frac{P_{\frac{k}{Q}n_s+n_b}(y)}{P_{n_b+n_s}(y)}$ 的三次方同阶。对 $\sum_{k=1}^{Q-1} \frac{P_{\frac{k}{Q}n_s+n_b}(y)}{P_{n_b+n_s}(y)}$ 进行分析:

$$\begin{aligned}
\lim_{y \rightarrow \infty} \sum_{k=1}^{Q-1} \frac{P_{\frac{k}{Q}n_s+n_b}(y)}{P_{n_b+n_s}(y)} &= \lim_{y \rightarrow \infty} \sum_{k=1}^{Q-1} \left[\frac{kn_s + Qn_b}{Q(n_b + n_s)} \right]^y e^{-\frac{n-Q}{Q}n_s} \\
&= \sum_{k=1}^{Q-1} \lim_{y \rightarrow \infty} \left[\frac{kn_s + Qn_b}{Q(n_b + n_s)} \right]^y e^{-\frac{n-Q}{Q}n_s} \\
&= 0
\end{aligned} \tag{11}$$

因此当 $y \rightarrow \infty$ 时, $\log(1 + \sum_{k=1}^{Q-1} \frac{P_{\frac{k}{Q}n_s+n_b}(y)}{P_{n_b+n_s}(y)}) \rightarrow 0$, 泰勒展开式成立, (3)+(5a)+(8)+(10)是
 $I(X; Y)$ 的一个下界。

我们分析 $\sum_{k=1}^{Q-1} \frac{P_{\frac{k}{Q}n_s+n_b}(y)}{P_{n_b+n_s}(y)}$ 趋向于零的速度。使用 MATLAB 编程, 设置 Q 、 n_s 、 n_b
分别为 5、20、5, 计算 $1 \leq y \leq 200$ 时的 $\sum_{k=1}^{Q-1} \frac{P_{\frac{k}{Q}n_s+n_b}(y)}{P_{n_b+n_s}(y)}$, 结果如图1。

可以看出, 在趋向于 0 时, $\sum_{k=1}^{Q-1} \frac{P_{\frac{k}{Q}n_s+n_b}(y)}{P_{n_b+n_s}(y)}$ 的值非常大, 并且以近似 -8dB 的斜
率下降, 在 5dB 附近存在转折点, 在转折点后以近似 -1.5dB 的斜率下降。实际影响
 $\sum_{k=1}^{Q-1} \frac{P_{\frac{k}{Q}n_s+n_b}(y)}{P_{n_b+n_s}(y)}$ 趋向于零的速度的因素主要是 $\frac{\partial \lg \sum_{k=1}^{Q-1} \frac{P_{\frac{k}{Q}n_s+n_b}(y)}{P_{n_b+n_s}(y)}}{\partial y}$ 曲线。称:

1. $\frac{\partial \lg \sum_{k=1}^{Q-1} \frac{P_{\frac{k}{Q}n_s+n_b}(y)}{P_{n_b+n_s}(y)}}{\partial y}$ 在 $y = 1$ 处的取值为曲线的初值。
2. $\frac{\partial \lg \sum_{k=1}^{Q-1} \frac{P_{\frac{k}{Q}n_s+n_b}(y)}{P_{n_b+n_s}(y)}}{\partial y}$ 达到一个基本不变的值时的 y 为曲线的饱和点。
3. $\frac{\partial \lg \sum_{k=1}^{Q-1} \frac{P_{\frac{k}{Q}n_s+n_b}(y)}{P_{n_b+n_s}(y)}}{\partial y}$ 最终达到的基本不变的值曲线的终值。

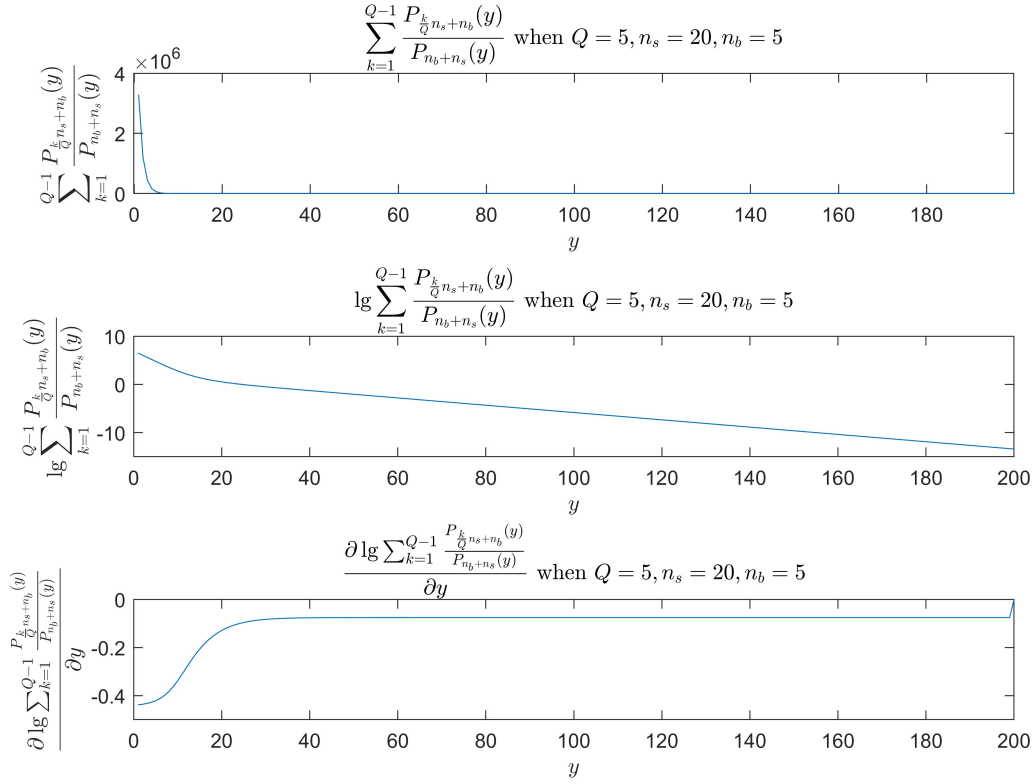


图 1 $\sum_{k=1}^{Q-1} \frac{P_{\frac{k}{Q}n_s+n_b}(y)}{P_{n_b+n_s}(y)}$ 趋向于零的速度

我们分析了 $\frac{\partial \lg \sum_{k=1}^{Q-1} \frac{P_{\frac{k}{Q}n_s+n_b}(y)}{P_{n_b+n_s}(y)}}{\partial y}$ 的曲线随 Q 、 n_s 、 n_b 的改变而变化的特点，并总结如下：

下：

1. 初值随 Q 增大而减小，但减小幅度相对 n_s 的影响可忽略不计。饱和点基本不受 Q 影响。终值随 Q 增大而增大，并最终趋向于 0。
2. 初值随 n_s 增大而减小。饱和点基本不受 n_s 影响。终值随 n_b 增大而减小。
3. 初值随 n_b 增大而增大。饱和点随 n_b 增大而增大。终值随 n_b 增大而增大，并最终趋向于 0。

而初值 $\sum_{k=1}^{Q-1} \frac{P_{\frac{k}{Q}n_s+n_b}(y)}{P_{n_b+n_s}(y)}|_{y=1}$ 随 Q 、 n_s 、 n_b 的增大而增大。其增大有以下特点：

1. 与 Q 的负倒数的指数函数基本成线性关系，即 $\sum_{k=1}^{Q-1} \frac{P_{\frac{k}{Q}n_s+n_b}(y)}{P_{n_b+n_s}(y)}|_{y=1} \sim k_1 e^{-\frac{1}{Q}} + b_1$ 。
2. 与 n_s 的指数函数基本成线性关系，即 $\sum_{k=1}^{Q-1} \frac{P_{\frac{k}{Q}n_s+n_b}(y)}{P_{n_b+n_s}(y)}|_{y=1} \sim k_2 e^{n_s} + b_2$ 。
3. 与 n_b 的负倒数成线性关系，即 $\sum_{k=1}^{Q-1} \frac{P_{\frac{k}{Q}n_s+n_b}(y)}{P_{n_b+n_s}(y)}|_{y=1} \sim -\frac{k_3}{n_b} + b_3$ 。

因此为使 $\sum_{k=1}^{Q-1} \frac{P_k^{n_s+n_b}(y)}{P_{n_b+n_s}(y)}$ 随 y 下降得尽量快，以使展开式(3)+(5a)+(8)+(10)能够适用于 I_{11} 的下界估计，并考虑到调制的进制 Q 、激光器最大发射的光子数 n_s 不能随意改变，我们认为应该在保持 n_s 的同时尽量减小背景光噪声光子数 n_b 。

下面我们直接计算 $\sum_{k=1}^{Q-1} \frac{P_k^{n_s+n_b}(y)}{P_{n_b+n_s}(y)}$ 小于某个阈值时的 y 的取值。设置 Q 、 n_s 、 n_b 都为 5，分别设置变化范围，计算满足 $\sum_{k=1}^{Q-1} \frac{P_k^{n_s+n_b}(y)}{P_{n_b+n_s}(y)} < 0.05$ 时最小的 y 值，结果如图2。

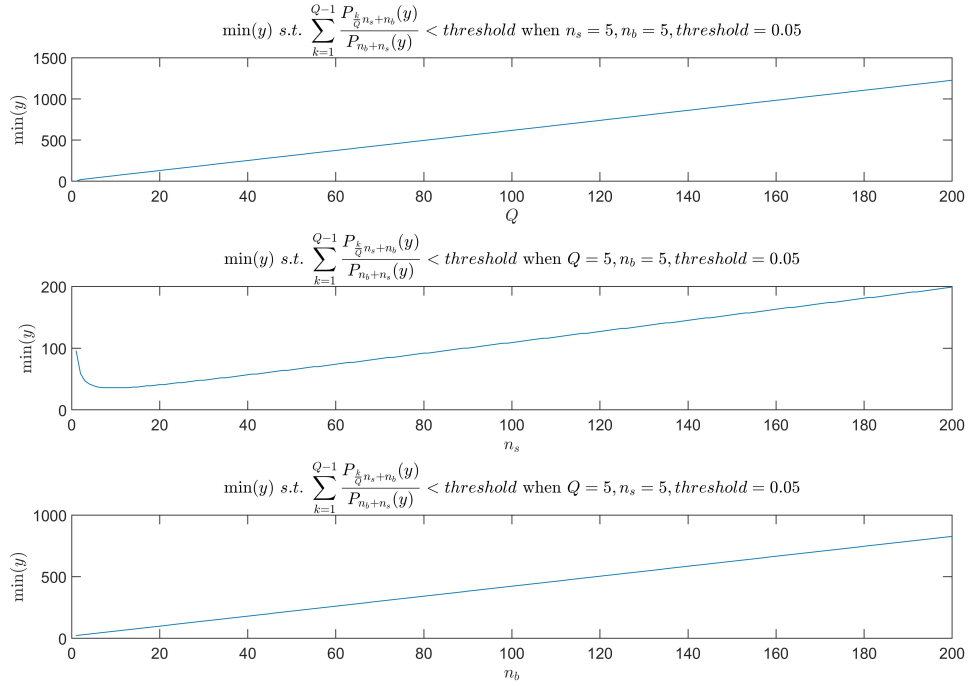


图 2 $\min(y) \text{ s.t. } \sum_{k=1}^{Q-1} \frac{P_k^{n_s+n_b}(y)}{P_{n_b+n_s}(y)} < \text{threshold}$

这也印证了我们前面的结论：减小 n_b 可以加快 $\sum_{k=1}^{Q-1} \frac{P_k^{n_s+n_b}(y)}{P_{n_b+n_s}(y)}$ 下降的速度。还可以从图2知道，在 Q 、 n_b 固定时，存在一个 n_s 使得 $\sum_{k=1}^{Q-1} \frac{P_k^{n_s+n_b}(y)}{P_{n_b+n_s}(y)}$ 下降得最快，这一取值随 Q 、 n_b 的增长而增长。

下面我们计算累积误差。由对 $\frac{\partial \lg \sum_{k=1}^{Q-1} \frac{P_k^{n_s+n_b}(y)}{P_{n_b+n_s}(y)}}{\partial y}$ 曲线的讨论知，在 $y > y_0$ 时有：

$$\begin{aligned} \exists C_0 > 0, \forall y \geq y_0, \frac{\partial \lg \sum_{k=1}^{Q-1} \frac{P_k^{n_s+n_b}(y)}{P_{n_b+n_s}(y)}}{\partial y} &= -C_0 \\ \exists A, C_1 > 0, \forall y \geq y_0, \sum_{k=1}^{Q-1} \frac{P_k^{n_s+n_b}(y)}{P_{n_b+n_s}(y)} &= Ae^{-C_1 y} \end{aligned} \quad (12)$$

可以由式(12)求得 $y \geq y_0$ 时的累积误差:

$$\begin{aligned}
E &= \sum_{y=y_0}^{\infty} \log(1 + \sum_{k=1}^{Q-1} \frac{P_{\frac{k}{Q}n_s+n_b}(y)}{P_{n_b+n_s}(y)}) - [\sum_{k=1}^{Q-1} \frac{P_{\frac{k}{Q}n_s+n_b}(y)}{P_{n_b+n_s}(y)} - \frac{1}{2}(\sum_{k=1}^{Q-1} \frac{P_{\frac{k}{Q}n_s+n_b}(y)}{P_{n_b+n_s}(y)})^2] \\
&= \sum_{y=y_0}^{\infty} \frac{1}{3}(\sum_{k=1}^{Q-1} \frac{P_{\frac{k}{Q}n_s+n_b}(y)}{P_{n_b+n_s}(y)})^3 - \frac{1}{4}(\sum_{k=1}^{Q-1} \frac{P_{\frac{k}{Q}n_s+n_b}(y)}{P_{n_b+n_s}(y)})^4 + \dots \\
&< \sum_{y=y_0}^{\infty} \frac{1}{3}(\sum_{k=1}^{Q-1} \frac{P_{\frac{k}{Q}n_s+n_b}(y)}{P_{n_b+n_s}(y)})^3 = \sum_{y=y_0}^{\infty} \frac{1}{3} A e^{-3C_1 y} = \frac{A e^{-3C_1 y_0}}{3(1 + e^{-3C_1})}
\end{aligned} \tag{13}$$

因此 $y \geq y_0$ 时的累积误差 E 是有限值, 并随着饱和点 y_0 的增大而呈指数下降趋势。选取 $y_m \geq y_0$ 作为泰勒展开的求和起始点, 也可以得到随 y_m 增大而趋向于 0 的累积误差。最终我们的求解 $I(X; Y)$ 的一个下界的方法是:

1. 选定一个应用二阶泰勒展开式的阈值。
2. 计算转折点 y_0 。
3. 计算 $\sum_{k=1}^{Q-1} \frac{P_{\frac{k}{Q}n_s+n_b}(y)}{P_{n_b+n_s}(y)}$ 小于这个阈值时的 y 的取值 y_1 。
4. 取 $y_m = \max\{y_0, y_1\}$, 计算(4b)在 $0 \leq y \leq y_m$ 时的值 I 。
5. 计算(8)+(10)在 $0 \leq y \leq y_m$ 时的值 T 。
6. 计算(3)+(5a)+(8)+(10)的值 S 。
7. 计算 $S - T + I$ 的值作为 $I(X; Y)$ 的一个下界。

前述推导中实际使 y_m 为 1。

考虑分子为泊松分布 m 次项而分母为泊松分布 n 次项的分式, 在 $m - n = 1$ 时其仍然是一个泊松分布:

$$\frac{\prod_{i=0}^{m-1} P_{\lambda_{0_i}}(y)}{\prod_{j=0}^{n-1} P_{\lambda_{1_j}}(y)} = P_{\frac{\prod_{i=0}^{m-1} \lambda_{0_i}}{\prod_{j=0}^{n-1} \lambda_{1_j}}}(y) e^{\frac{\prod_{i=0}^{m-1} \lambda_{0_i}}{\prod_{j=0}^{n-1} \lambda_{1_j}} - \sum_{i=0}^{m-1} \lambda_{0_i} + \sum_{j=0}^{n-1} \lambda_{1_j}} \tag{14}$$

对其求和或求均值都是非常容易得到结果的。因此理论上可以将式(4b)使用高阶泰勒展开, 得到多个非常精确的互信息的上下界。但这样带来的问题是表达式十分复杂, 在此不再赘述。

四、代码

Listing 1: 绘制图1与图2

```
1 %% Clear workspace
2 clc;close all;
3 %% Plot the minumun y curve
4 Qs = 1:200;Q = 5;
5 nss = 1:200;ns = 5;
6 nbs = 1:200;nb = 5;
7 threshold = 0.05;
8
9 ymins1 = zeros(size(Qs));
10 for i = 1:length(Qs)
11     ymins1(i) = Ymin(Qs(i), ns, nb, threshold);
12 end
13
14 ymins2 = zeros(size(nss));
15 for i = 1:length(nss)
16     ymins2(i) = Ymin(Q, nss(i), nb, threshold);
17 end
18
19 ymins3 = zeros(size(nbs));
20 for i = 1:length(nbs)
21     ymins3(i) = Ymin(Q, ns, nbs(i), threshold);
22 end
23
24 figure;
25 paramstr1 = " when $$n_s = " + num2str(ns) + ...
26     ", n_b = " + num2str(nb) + ", threshold = " + num2str(threshold) + "$$";
27 subplot(311);plot(Qs,ymins1);xlabel("$$Q$$", "interpreter", "latex");
28 ylabel("$$\min(y)$$", "interpreter", "latex")
29 title("$$\min(y)\ \text{s.t.}\ \sum_{k=1}^{Q-1}\frac{P_{\{\frac{k}{Q}\}n_s+n_b}(y)}{P_{\{n_b+n_s\}}(y)} < \\
30     \text{threshold}$$" + paramstr1, "interpreter", "latex")
31 paramstr2 = " when $$Q = " + num2str(Q) + ...
```

```

32     ", n_b = " + num2str(nb) + ", threshold = " + num2str(threshold) + "$$";
33 subplot(312);plot(nss,ymins2);xlabel("$n_s$", "interpreter", "latex");
34 ylabel("$\min(y)$", "interpreter", "latex")
35 title("$\min(y) \setminus \sum_{k=1}^{Q-1} \frac{P_{\{\frac{k}{Q}n_s+n_b\}}(y)}{P_{\{n_b+n_s\}}(y)} < \\
    \text{threshold}$" + paramstr2, "interpreter", "latex")
36
37 paramstr3 = " when $$Q = " + num2str(Q) + ...
38     ", n_s = " + num2str(ns) + ", threshold = " + num2str(threshold) + "$$";
39 subplot(313);plot(nbs,ymins3);xlabel("$n_b$", "interpreter", "latex");
40 ylabel("$\min(y)$", "interpreter", "latex")
41 title("$\min(y) \setminus \sum_{k=1}^{Q-1} \frac{P_{\{\frac{k}{Q}n_s+n_b\}}(y)}{P_{\{n_b+n_s\}}(y)} < \\
    \text{threshold}$" + paramstr3, "interpreter", "latex")
42 %% Plot the sum of Poisson probability curve
43 Q = 5;
44 ns = 20;
45 nb = 5;
46 ys = 1:200;
47 sumps = zeros(size(ys));
48 for i = 1:length(ys)
49     sumps(i) = SumPoisson(Q, ns, nb, ys(i));
50 end
51
52 logresult = log1p(sumps);
53 taylor2ord = sumps - sumps.^2;
54 log10ys = log10(ys);
55 log10sumps = log10(sumps);
56 grads = zeros(size(ys));
57 for i = 1:length(ys) - 1
58     grads(i) = (log10sumps(i + 1) - log10sumps(i)) / (ys(i + 1) - ys(i));
59     disp("grad in " + num2str(ys(i)) + ": " + num2str(grads(i)))
60 end
61
62 figure;
63 paramstr = " when $$Q = " + num2str(Q) + ", n_s = " + num2str(ns) + ...
64     ", n_b = " + num2str(nb) + "$$";
65

```

```

66 subplot(311);plot(ys, sumps);xlabel("$$$y$$", "interpreter", "latex")
67 ylabel("$$\sum_{k=1}^{Q-1}\frac{P_{\{\frac{k}{Q}n_s+n_b\}}(y)}{P_{\{n_b+n_s\}}(y)}$$", "interpreter",
        "latex")
68 title("$$\sum_{k=1}^{Q-1}\frac{P_{\{\frac{k}{Q}n_s+n_b\}}(y)}{P_{\{n_b+n_s\}}(y)}$$"...
69 + paramstr, "interpreter", "latex")
70
71 subplot(312);plot(ys, log10sumps);xlabel("$$$y$$", "interpreter", "latex")
72 ylabel("$$\lg\sum_{k=1}^{Q-1}\frac{P_{\{\frac{k}{Q}n_s+n_b\}}(y)}{P_{\{n_b+n_s\}}(y)}$$", "interpreter",
        "latex")
73 title("$$\lg\sum_{k=1}^{Q-1}\frac{P_{\{\frac{k}{Q}n_s+n_b\}}(y)}{P_{\{n_b+n_s\}}(y)}$$"...
74 + paramstr, "interpreter", "latex")
75
76 subplot(313);plot(ys, grads);xlabel("$$$y$$", "interpreter", "latex")
77 ylabel("$$\frac{\partial}{\partial \lg\sum_{k=1}^{Q-1}\frac{P_{\{\frac{k}{Q}n_s+n_b\}}(y)}{P_{\{n_b+n_s\}}(y)}}\{\frac{\partial}{\partial y}\}$$", "interpreter", "latex")
78 title("$$\frac{\partial}{\partial \lg\sum_{k=1}^{Q-1}\frac{P_{\{\frac{k}{Q}n_s+n_b\}}(y)}{P_{\{n_b+n_s\}}(y)}}\{\frac{\partial}{\partial y}\}$$"...
79 + paramstr, "interpreter", "latex")
80
81 figure;plot(ys, logresult, ys, taylor2ord, "--");title("Compare")
82 %% Functions
83 function p = Possion(lambda, y)
84     % Possion distribution pdf
85     if isequal(y, 0)
86         p = exp(-lambda);
87     else
88         logp = y * log(lambda) - lambda - sum(log(1:y));
89         p = exp(logp);
90     end
91 end
92
93 function sump = SumPossion(Q, ns, nb, y)
94     % sum of Possion probability
95     ks = 1:(Q - 1);
96     sump = sum((((ks * ns + Q * nb) / (Q * (ns + nb)))) .^ y)...
97         .* exp((Q - ks) / Q * ns));

```

```
98 end
99
100 function ymin = Ymin(Q, ns, nb, threshold)
101     % find minimum y s.t. sum of Poisson probability less than threshold
102     y = 0;
103     while SumPoisson(Q, ns, nb, y) >= threshold
104         y = y + 1;
105     end
106     ymin = y;
107 end
```